

Tarea N°3:

Redes Neuronales Convolucionales

Rodrigo Aníbal Llanca Zúñiga

Escuela de Ingeniería, Universidad de O'Higgins

11, Noviembre, 2023

Abstract—En esta tarea, se aborda la implementación de una Red Neuronal Convolutiva (CNN) con el propósito de clasificar etiquetas correspondientes en dos conjuntos de datos distintos: la base de datos de manuscritos MNIST y la base de datos de imágenes pequeñas CIFAR-10. La implementación se lleva a cabo en el lenguaje de programación Python, utilizando la biblioteca TensorFlow.

Las Convolutional Neural Networks (CNN o ConvNet) son una categoría de redes neuronales profundas ampliamente utilizadas en el análisis de imágenes visuales. Conocidas también como redes neuronales artificiales invariantes al desplazamiento o al espacio, las CNN se basan en la arquitectura de pesos compartidos de los filtros de convolución. Estos filtros se deslizan a lo largo de las características de entrada, proporcionando respuestas equivariantes a la translación, denominadas feature maps. Las CNN encuentran aplicaciones en diversos campos, como el reconocimiento de imágenes y videos, sistemas de recomendación, clasificación de imágenes, segmentación de imágenes, análisis de imágenes médicas, procesamiento del lenguaje natural, interfaces cerebro-ordenador y análisis de series temporales financieras, entre otros. Este trabajo se enfoca en la aplicación de estas redes para la tarea específica de clasificación de datos provenientes de las bases MNIST y CIFAR-10.

I. INTRODUCCIÓN

En el campo del aprendizaje profundo, las Redes Neuronales Convolucionales (CNN) han emergido como una herramienta fundamental, especialmente en el ámbito del procesamiento de imágenes. Estas redes, diseñadas para imitar el procesamiento visual que ocurre en el cerebro humano, han demostrado ser altamente eficaces en una variedad de tareas relacionadas con el análisis de imágenes.

El objetivo principal de esta tarea es implementar y evaluar una CNN para la clasificación de datos provenientes de dos conjuntos de imágenes ampliamente utilizados en la comunidad de aprendizaje automático: la base de datos de manuscritos MNIST y la base de datos de imágenes pequeñas CIFAR-10. Este proceso se lleva a cabo utilizando el lenguaje de programación Python y la biblioteca TensorFlow.

En la era actual de la inteligencia artificial, la capacidad de clasificar imágenes de manera precisa es esencial para numerosas aplicaciones, desde el reconocimiento de dígitos manuscritos hasta la identificación de objetos en fotografías de la vida cotidiana. Las CNN, al incorporar capas de convolución que pueden aprender características jerárquicas, han demostrado ser excepcionalmente hábiles en la extracción y comprensión de patrones visuales complejos.

Esta tarea no solo busca implementar una solución funcional, sino también explorar las decisiones de diseño clave, como la arquitectura de la red, el tipo de capas utilizadas y

los parámetros de entrenamiento. A través de este proceso, se pretende no solo obtener un modelo que logre clasificaciones precisas, sino también comprender cómo diferentes elecciones de diseño afectan el rendimiento del modelo. Este trabajo se suma al continuo esfuerzo de la comunidad científica por mejorar las capacidades de las redes neuronales en la clasificación de imágenes, contribuyendo así al desarrollo y comprensión de las aplicaciones de aprendizaje profundo en el procesamiento visual.

II. MARCO TEÓRICO

A. Redes Neuronales Convolucionales (CNN)

Las Redes Neuronales Convolucionales (CNN) son un tipo especializado de red neuronal diseñadas para procesar datos estructurados en cuadrículas, como imágenes. Se componen de capas de convolución que aplican filtros para extraer características locales, seguidas de capas de agrupación para reducir la dimensionalidad. Esta arquitectura ha demostrado ser altamente efectiva en tareas de visión por computadora.

B. Base de Datos MNIST

La base de datos MNIST es un conjunto de 70,000 imágenes de dígitos escritos a mano (0 al 9), ampliamente utilizada para entrenar y evaluar algoritmos de reconocimiento de dígitos. Cada imagen es de 28x28 píxeles, lo que la convierte en una tarea de clasificación de imágenes relativamente pequeñas pero desafiante.

C. Base de Datos CIFAR-10

La base de datos CIFAR-10 contiene 60,000 imágenes en color de 32x32 píxeles, agrupadas en 10 clases, cada una representando un tipo de objeto. Esta base de datos es un estándar en la evaluación de algoritmos de clasificación de imágenes y presenta un desafío adicional debido a la presencia de colores y detalles finos.

D. TensorFlow

TensorFlow es una biblioteca de código abierto desarrollada por Google, diseñada para facilitar la implementación y entrenamiento de modelos de aprendizaje automático. Proporciona herramientas flexibles para construir redes neuronales y otros modelos de aprendizaje profundo.

E. One-Hot Encoding

El One-Hot Encoding es una técnica de representación de variables categóricas en forma de vectores binarios. Se utiliza comúnmente en aprendizaje automático y procesamiento de lenguaje natural para manejar datos categóricos en algoritmos que requieren entradas numéricas.

La idea básica detrás del One-Hot Encoding es asignar un valor binario único a cada categoría posible. Cada categoría se representa como un vector de longitud igual al número total de categorías, y todos los elementos del vector son establecidos en cero, excepto el correspondiente a la categoría, que se establece en uno. En otras palabras, solo un bit está "caliente" (one) mientras que los demás están "fríos" (zero), de ahí el nombre "One-Hot".

F. Max-Pooling

Max-pooling es una operación comúnmente utilizada en redes neuronales convolucionales (CNN) para reducir la dimensionalidad de cada mapa de características mientras se conservan las características más relevantes. Es particularmente útil en tareas de visión por computadora y reconocimiento de patrones.

La operación de max-pooling se realiza en cada mapa de características por separado. Dado un tamaño de ventana (kernel), la operación de max-pooling divide el mapa de características en regiones no solapadas y selecciona el valor máximo de cada región. El resultado es un nuevo mapa de características con una resolución espacial reducida.

La ventaja principal de max-pooling radica en su capacidad para conservar las características más importantes de una región mientras reduce el tamaño de la representación. Esto proporciona invarianza a pequeñas traslaciones en la entrada y reduce la cantidad de parámetros y cómputo en la red, ayudando a prevenir el sobreajuste (overfitting).

G. Adadelta

Adadelta es un algoritmo de optimización que se adapta dinámicamente la tasa de aprendizaje durante el entrenamiento. Fue diseñado para abordar algunas limitaciones del algoritmo Adagrad, especialmente en la reducción de la tasa de aprendizaje de forma agresiva a medida que avanza el entrenamiento. Adadelta ajusta automáticamente la escala de aprendizaje para cada parámetro en función de la magnitud acumulativa de los gradientes recientes. Esto ayuda a mitigar el problema de ajustar manualmente la tasa de aprendizaje y mejora la estabilidad del entrenamiento.

H. Adagrad

Adagrad es un algoritmo de optimización que adapta la tasa de aprendizaje para cada parámetro en función de la frecuencia de actualización de ese parámetro. En otras palabras, asigna tasas de aprendizaje más grandes a parámetros que reciben actualizaciones infrecuentes y tasas más pequeñas a parámetros que se actualizan con frecuencia. Si bien Adagrad puede ser efectivo en problemas convexos, puede sufrir de tasas de aprendizaje decrecientes rápidamente en problemas no convexos, lo que lleva a un estancamiento prematuro.

I. Adam

Adam, que significa "Adaptive Moment Estimation", es un algoritmo de optimización que combina elementos de otros dos algoritmos populares, RMSprop y Momentum. Adam mantiene dos promedios móviles: uno para los gradientes (similar a Momentum) y otro para el cuadrado de los gradientes (similar a RMSprop). Estos promedios se utilizan para calcular la corrección del sesgo y adaptar la tasa de aprendizaje para cada parámetro. Adam ha demostrado ser efectivo en una variedad de tareas y es conocido por su capacidad para manejar problemas con gradientes dispersos o ruidosos.

III. METODOLOGÍA

En esta sección, se presenta la metodología empleada para implementar y evaluar las Redes Neuronales Convolucionales (CNN) destinadas a la clasificación de imágenes de la base de datos MNIST y CIFAR-10. El enfoque metodológico sigue las pautas proporcionadas para la tarea y se fundamenta en las prácticas recomendadas en el ámbito de las redes neuronales convolucionales y el aprendizaje profundo.

A. Configuración del Entorno de Desarrollo

Se utilizó un entorno de desarrollo en Python, aprovechando la biblioteca TensorFlow para la implementación de las CNN. Se aseguró la disponibilidad de los paquetes y dependencias necesarios para garantizar un entorno coherente y reproducible. Luego de importar las librerías necesarias, se definen tests los cuales funciones hechas mas adelante por nosotros deberán pasar.

Código 1: Tests a superar

```
1 import os
2 import numpy as np
3 import tensorflow as tf
4 import random
5 from unittest.mock import MagicMock
6
7
8 def _print_success_message():
9     print('Pruebas superadas.')
10    print('Puede pasar a la siguiente tarea.')
11
12 def test_normalize_images(function):
13     test_numbers = np.array([0,127,255])
14     OUT = function(test_numbers)
15     test_shape = test_numbers.shape
16
17     assert type(OUT).__module__ == np.__name__, \
18         'Not Numpy Object'
19
20     assert OUT.shape == test_shape, \
21         'Incorrect Shape. {} shape found'.format(OUT.shape)
22     np.testing.assert_almost_equal(test_numbers/255, OUT)
23
24     _print_success_message()
25
26 def test_one_hot(function):
27     test_numbers = np.arange(10)
28     number_classes = 10
29     OUT = function(test_numbers, number_classes)
30
31     awns = np.identity(number_classes)
32     test_shape = awns.shape
33
34     assert type(OUT).__module__ == np.__name__, \
35         'Not Numpy Object'
36
37     assert OUT.shape == test_shape, \
38         'Incorrect Shape. {} shape found'.format(OUT.shape)
```

```

39 np.testing.assert_almost_equal(awns, OUT)
40
41 _print_success_message()

```

B. Preprocesamiento de Datos

Las bases de datos MNIST y CIFAR-10 se preprocesaron para adaptarlas a la entrada de la red neuronal. Este proceso incluyó la normalización de píxeles y, en el caso de CIFAR-10, la adaptación de las etiquetas a las clases correspondientes.

Código 2: Funciones a probar

```

1 def normalize_images(images):
2     images = images.astype('float32') / 255.0 # Normaliza
        las im genes dividiendo entre 255
3
4     return images
5
6 ### *No* modificar las siguientes l neas ###
7 test_normalize_images(normalize_images)
8
9 # Normalizar los datos para su uso futuro
10 x_train = normalize_images(x_train)
11 x_test = normalize_images(x_test)
12
13 def one_hot(vector, number_classes):
14     """Devuelve una matriz codificada one-hot dado el
        vector argumento.
15     """
16     # Aqu almacenaremos nuestros one-hots
17     one_hot = []
18
19     # Aqu se codifica el 'vector' one-hot
20     for val in vector:
21         one_hot1 = [0] * number_classes # Inicializar un
        array de ceros con longitud number_classes
22         one_hot1[val] = 1 # Establecer el valor en 1 en la
        posici n indicada por el valor en el vector
23         one_hot.append(one_hot1) # Agregar el one-hot
        actual a la lista
24
25     # Transformar la lista en una matriz numpy y retornarla
26     return np.array(one_hot)
27
28
29 ### *No* modifique las siguientes lineas ###
30 test_one_hot(one_hot)
31
32 # One-hot codifica los labels de MNIST
33 y_train = one_hot(y_train, 10)
34 y_test = one_hot(y_test, 10)

```

C. Diseño de la Arquitectura de las CNN para MNIST

Se diseñó una arquitectura de red neuronal convolucional, considerando las características específicas de las imágenes de MNIST y CIFAR-10. Se configuraron capas de convolución, activación, y pooling, así como capas completamente conectadas para la clasificación final.

Código 3: Funcion net1 la cual se usará para crear la primera CNN

```

1 # Importar la librería a Keras
2 import keras
3 from keras.models import Model
4 from keras.layers import *
5
6
7 def net_1(sample_shape, nb_classes):
8     # Defina la entrada de la red para que tenga la
        dimensi n 'sample_shape'
9     input_x = Input(shape=sample_shape)
10
11     # Generar 32 kernel maps utilizando una capa
        convolucional
12     x = Conv2D(32, (3, 3), padding='same', activation='relu')
        (input_x)
13

```

```

14 # Generar 64 kernel maps utilizando una capa
        convolucional
15     x = Conv2D(64, (3, 3), padding='same', activation='relu')
        (x)
16
17 # Reducir los feature maps utilizando max-pooling
18     x = MaxPooling2D(pool_size=(2, 2), padding='same')(x)
19
20 # Aplanar el feature map
21     x = Flatten()(x)
22
23 # Capa fully-connected, 128 dimensiones con activaci n
        ReLU
24     x = Dense(128, activation='relu')(x)
25
26 # Capa fully-connected a nb_classes dimensiones con
        activaci n Softmax
27     probabilities = Dense(nb_classes, activation='softmax')
        (x)
28
29 # Definir la salida
30     model = Model(inputs=input_x, outputs=probabilities)
31
32     return model

```

Código 4: Creacion del modelo usando net1

```

1 # Dimensi n de la muestra
2 sample_shape = x_train[0].shape
3
4 # Construir una red
5 model = net_1(sample_shape, 10)
6 model.summary()

```

Red la cual nos entrega el siguiente summary:

Layer (type)	Output Shape	Param #
input_7 (InputLayer)	[(None, 28, 28, 1)]	0
conv2d_12 (Conv2D)	(None, 28, 28, 32)	320
conv2d_13 (Conv2D)	(None, 28, 28, 64)	18496
max_pooling2d_4 (MaxPoolin g2D)	(None, 14, 14, 64)	0
flatten_6 (Flatten)	(None, 12544)	0
dense_12 (Dense)	(None, 128)	1605760
dense_13 (Dense)	(None, 10)	1290
Total params: 1625866 (6.20 MB)		
Trainable params: 1625866 (6.20 MB)		
Non-trainable params: 0 (0.00 Byte)		

Fig. 1: Net_1 summary

D. Entrenamiento de los modelos para MNIST

Los modelos se entrenaron utilizando el conjunto de datos de entrenamiento, y se ajustaron los hiperparámetros, como la tasa de aprendizaje y el tamaño del lote, para optimizar el rendimiento. Se aplicó un enfoque de validación cruzada para evaluar la generalización del modelo.

Código 5: Entrenamiento del modelo net1

```

1 # Defina los hiperpar metros
2 batch_size = 32
3 epochs = 30
4
5 ### *No* modifique las siguientes l neas ###
6
7 # No hay tasa de aprendizaje porque estamos usando los
        valores recomendados
8 # para el optimizador Adadelat. M s informaci n aqu :
9 # https://keras.io/optimizers/
10
11 # Necesitamos compilar nuestro modelo
12 model.compile(loss='categorical_crossentropy',
13               optimizer='Adadelat',

```

```

14         metrics=['accuracy'])
15
16 # Entrenar
17 logs = model.fit(x_train, y_train,
18                 batch_size=batch_size,
19                 epochs=epochs,
20                 verbose=2,
21                 validation_split=0.1)
22
23 # Graficar losses y el accuracy
24 fig, ax = plt.subplots(1,1)
25
26 pd.DataFrame(logs.history).plot(ax=ax)
27 ax.grid(linestyle='dotted')
28 ax.legend()
29
30 plt.show()
31
32 # Evaluar el rendimiento
33 print('='*80)
34 print('Assesing Test dataset...')
35 print('='*80)
36
37 score = model.evaluate(x_test, y_test, verbose=0)
38 print('Test loss:', score[0])
39 print('Test accuracy:', score[1])

```

Donde se puede apreciar la libre elección de los hiperparámetros "batch" y "epochs" los cuales escogimos los valores 32 y 30 respectivamente, además de usar el optimizador Adadelta.

Para el la creación del segundo modelo, se implementó la función net2 que vemos a continuación:

Código 6: Funcion net2

```

1 def net_2(sample_shape, nb_classes):
2     #Defina la entrada de la red para que tenga la
3     #dimensi n 'sample_shape'
4     input_x = Input(shape=sample_shape)
5
6     # Generar 32 kernel maps utilizando una capa
7     #convolucional
8     x = Conv2D(32, (3, 3), padding='same', activation='relu')(input_x)
9
10    # Generar 64 kernel maps utilizando una capa
11    #convolucional con stride=2
12    x = Conv2D(64, (3, 3), padding='same', activation='relu', strides=2)(x)
13
14    # Aplanar el feature map
15    x = Flatten()(x)
16
17    # Capa fully-connected, 128 dimensiones con activaci n
18    #ReLU
19    x = Dense(128, activation='relu')(x)
20
21    # Capa fully-connected a nb_classes dimensiones con
22    #activaci n Softmax
23    probabilities = Dense(nb_classes, activation='softmax')(x)
24
25    # Definir la salida
26    model = Model(inputs=input_x, outputs=probabilities)
27
28    return model

```

Esta vez, se remueve el Max Pooling y se añade el parametro strides=2 al segundo bloque de convolución. Veamos su respectivo summary:

Layer (type)	Output Shape	Param #
input_8 (InputLayer)	[(None, 28, 28, 1)]	0
conv2d_14 (Conv2D)	(None, 28, 28, 32)	320
conv2d_15 (Conv2D)	(None, 14, 14, 64)	18496
flatten_7 (Flatten)	(None, 12544)	0
dense_14 (Dense)	(None, 128)	1605760
dense_15 (Dense)	(None, 10)	1290
Total params: 1625866 (6.20 MB)		
Trainable params: 1625866 (6.20 MB)		
Non-trainable params: 0 (0.00 Byte)		

Fig. 2: Net_2 summary

A la hora de entrenar el modelo, se hace exactamente igual que el anterior.

E. Diseño de la Arquitectura de las CNN para CIFAR

Primero se usa la función creada anteriormente onehot() para codificar ytrain y ytest:

Código 7: Uso de la función one_hot

```

1 y_train = one_hot(y_train.reshape(-1), 10)
2 y_test = one_hot(y_test.reshape(-1), 10)
3
4
5 ### *No* modifique las siguientes lineas ###
6 # Imprima los tama os de los datos (variables)
7 print('Shape of x_train {}'.format(x_train.shape))
8 print('Shape of y_train {}'.format(y_train.shape))
9 print('Shape of x_test {}'.format(x_test.shape))
10 print('Shape of y_test {}'.format(y_test.shape))

```

También se normalizan las imágenes usando la función normalize_images() creada anteriormente

Código 8: Uso de la función normalize_images

```

1 x_train = normalize_images(x_train)
2 x_test = normalize_images(x_test)

```

Luego el modelo es creado en base a la función net_1() de la forma:

Código 9: Funcion net_2

```

1 # Dimensionalidad de la muestra
2 sample_shape = x_train[0].shape
3
4 # Construcción de la red
5 model = net_1(sample_shape, 10)
6 model.summary()
7
8 # Necesitamos compilar nuestro modelo de red neuronal
9 model.compile(loss='categorical_crossentropy',
10              optimizer='Adagrad',
11              metrics=['accuracy'])

```

Además posee las siguientes características:

Layer (type)	Output Shape	Param #
input_11 (InputLayer)	[(None, 32, 32, 3)]	0
conv2d_20 (Conv2D)	(None, 32, 32, 32)	896
conv2d_21 (Conv2D)	(None, 32, 32, 64)	18496
max_pooling2d_7 (MaxPooling2D)	(None, 16, 16, 64)	0
flatten_10 (Flatten)	(None, 16384)	0
dense_20 (Dense)	(None, 128)	2097280
dense_21 (Dense)	(None, 10)	1290
Total params: 2117962 (8.08 MB)		
Trainable params: 2117962 (8.08 MB)		
Non-trainable params: 0 (0.00 Byte)		

Fig. 3: Sumario del modelo creado usando net_1() para CIFAR

A. Loss

Layer (type)	Output Shape	Param #
input_11 (InputLayer)	[(None, 32, 32, 3)]	0
conv2d_20 (Conv2D)	(None, 32, 32, 32)	896
conv2d_21 (Conv2D)	(None, 32, 32, 64)	18496
max_pooling2d_7 (MaxPooling2D)	(None, 16, 16, 64)	0
flatten_10 (Flatten)	(None, 16384)	0
dense_20 (Dense)	(None, 128)	2097280
dense_21 (Dense)	(None, 10)	1290
Total params: 2117962 (8.08 MB)		
Trainable params: 2117962 (8.08 MB)		
Non-trainable params: 0 (0.00 Byte)		

Fig. 5: Sumario del modelo creado usando net_1() para CIFAR

B. Accuracy

F. Entrenamiento del modelo para CIFAR

Y esta vez es entrenado con los hiperparámetros definidos en batch = 128 y epochs = 30, además de usar validation_split = 0.2 a la hora de llamar .fit() como podemos ver a continuación:



Fig. 4: Entrenamiento del modelo usado para CIFAR

Images/imagen_2023-10-27_201544777.png

Fig. 6: Gráfico de línea de las precisiones de entrenamiento y validación

C. Tiempo

Images/imagen_2023-10-27_202216826.png

Fig. 7: Gráfico de línea para comparar los tiempos de ejecución de cada red neuronal entrenada

IV. RESULTADOS

A continuación, se presentan los principales resultados obtenidos por cada uno de los modelos, siguiendo los requisitos establecidos en el enunciado.

D. Matrices de Confusión - Entrenamiento



Fig. 8: Matrices de Confusión Normalizadas en conjunto de entrenamiento.

E. Matrices de Confusión - Validación



Fig. 9: Matrices de Confusión Normalizadas en conjunto de validación.

F. Mejor modelo



Fig. 10: Matriz de Confusión y Accuracy Modelo F en el conjunto de prueba.

V. ANÁLISIS

A. Análisis de los códigos de entrenamiento de las redes

Modelos de los cuales se puede inferir que el incremento de la cantidad de neuronas en la capa oculta afecta positivamente si se combina con la función de activación correcta, por ejemplo con la función de activación Tanh y 10 neuronas no se nota gran cambio y el tiempo de ejecución es lento pero si se aumentan las neuronas y capas ocultas, se mejora el doble obteniendo un tiempo decente. A su vez, en el modelo f como se vió anteriormente, con la función de activación ReLU, dos capas ocultas y 40 neuronas cada una, se logra el mejor entrenamiento.

B. Con respecto a los gráficos de la subsección Loss

Los gráficos de pérdida de entrenamiento y validación muestran la evolución de la pérdida del modelo a medida que se entrena y se valida. En general, se espera que la pérdida de entrenamiento disminuya a medida que el modelo aprende, mientras que la pérdida de validación debería permanecer relativamente constante o aumentar ligeramente. Esto se debe a que el modelo está aprendiendo a generalizar a datos nuevos, lo que puede aumentar la pérdida.

En el caso de los gráficos proporcionados, se observa que la pérdida de entrenamiento de todos los modelos disminuye a medida que se entrenan. Sin embargo, la pérdida de validación de los modelos A y B comienza a aumentar después de un cierto número de épocas. Esto sugiere que estos modelos están comenzando a sobreajustarse a los datos de entrenamiento.

El modelo f tiene la curva de pérdida de validación más estable, lo que sugiere que es menos propenso a sobreajustarse.

Este modelo también tiene la pérdida de entrenamiento más baja, lo que sugiere que es el modelo más preciso.

C. Luego, para la Precisión

El gráfico proporcionado muestra la evolución de la precisión del modelo a medida que se entrena y se valida. La precisión de entrenamiento se define como la proporción de muestras de entrenamiento que el modelo clasifica correctamente. La precisión de validación se define como la proporción de muestras de validación que el modelo clasifica correctamente.

En general, se espera que la precisión de entrenamiento aumente a medida que el modelo aprende, mientras que la precisión de validación debería permanecer relativamente constante o aumentar ligeramente. Esto se debe a que el modelo está aprendiendo a generalizar a datos nuevos, lo que puede aumentar la precisión.

D. Análisis de los tiempos de ejecución

El gráfico muestra los tiempos de entrenamiento de los seis modelos de redes neuronales. Los modelos se etiquetan del A al F. En el eje X tenemos las etiquetas de los modelos, mientras que en el eje Y el tiempo de ejecución en segundos.

El gráfico muestra que el modelo A es el más lento para entrenar, con un tiempo de entrenamiento de 35.677886 segundos. El modelo F es el más rápido para entrenar, con un tiempo de entrenamiento de 13.563620 segundos.

Se puede concluir que el modelo F es el modelo más eficiente en términos de tiempo de entrenamiento. Este modelo es ideal para aplicaciones donde el tiempo de entrenamiento es un factor importante.

E. Análisis de las Matrices de Confusión - Entrenamiento

Como bien se puede apreciar, se arroja una diagonal de 1's y ceros alrededor lo cual es muy poco probable por lo que apunta a un error de normalización o en la evaluación de la matriz de confusión, al menos en el modelo e hay una pequeña variación de datos.

F. Análisis de las Matrices de Confusión - Validación

En general, se espera que la diagonal principal de una matriz de confusión tenga los valores más altos. Esto se debe a que las predicciones correctas deben estar en la diagonal principal.

Se puede observar que el modelo F tiene la matriz de confusión más precisa. Este modelo tiene la mayoría de los valores en la diagonal principal, lo que sugiere que está haciendo predicciones precisas. Mientras que el modelo A tiene la matriz de confusión menos precisa. Este modelo tiene muchos valores fuera de la diagonal principal, lo que sugiere que está haciendo muchas predicciones incorrectas.

Ahondemos en el modelo F:

La matriz de confusión del modelo F muestra que el modelo tiene una precisión del 99%. Esto significa que el modelo clasifica correctamente el 99% de las muestras de validación.

La matriz de confusión también muestra que el modelo tiene una sensibilidad del 99% y una especificidad del 99%. La

sensibilidad se define como la proporción de muestras positivas que el modelo clasifica correctamente. La especificidad se define como la proporción de muestras negativas que el modelo clasifica correctamente.

En este caso, la sensibilidad y la especificidad del modelo F son iguales, lo que indica que el modelo está clasificando correctamente tanto las muestras positivas como las negativas.

G. Matriz de Confusión mejor modelo, en el conjunto de prueba

Esta sección revela una discrepancia significativa, ya que el rendimiento del modelo al enfrentarse a datos nuevos fue notablemente pobre en comparación con sus resultados en el entrenamiento y la validación. Al observar la matriz de confusión de la Figura 7, se evidencia que en algunas clases, como la 0 y 9, el modelo no logró clasificar ningún dato de manera correcta, aún así logra valores aceptables en las coordenadas (2,2), (4,4) y (8,8). Además, el índice de precisión en el conjunto de prueba resulta notablemente bajo como se observa a continuación:

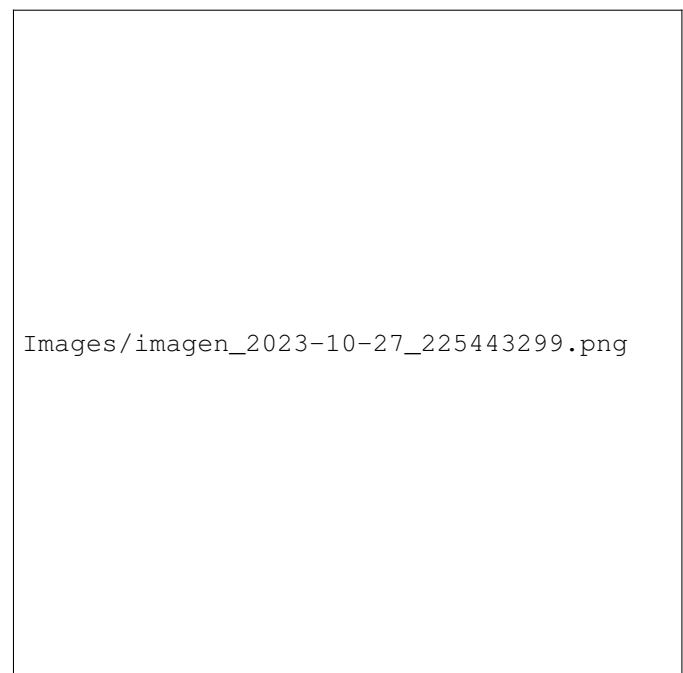


Fig. 11: índice de precisión en el conjunto de prueba.

En comparación con los resultados de las fases de entrenamiento y validación. Estos resultados podrían sugerir que a pesar de implementar el early stopping, el modelo está sobreajustado y no generaliza eficientemente con datos no vistos.

VI. CONCLUSIONES GENERALES

El estudio de clasificación de dígitos manuscritos mediante redes neuronales ha proporcionado resultados prometedores y ha identificado áreas clave para mejorar la eficiencia y precisión de los modelos. Se empleó PyTorch para la carga de datos y la construcción de diversas arquitecturas de redes

neuronales, las cuales fueron entrenadas con un límite de 1000 épocas y se aplicó la técnica de early stopping para evitar el sobreajuste.

En cuanto a la pérdida y precisión, se observó que algunos modelos mostraron signos de sobreajuste, especialmente los modelos A y B, mientras que el modelo F demostró una trayectoria de pérdida más estable y mayor precisión.

Los tiempos de entrenamiento variaron entre modelos, siendo el modelo F el más eficiente. Esto lo posiciona como una excelente opción para aplicaciones donde la rapidez en el entrenamiento es crítica.

El análisis de las matrices de confusión mostró que el modelo F mantuvo altos niveles de precisión y exactitud tanto en el conjunto de entrenamiento como en el de validación. Sus valores altos en la diagonal principal indican una clasificación precisa y confiable.

Sin embargo, al evaluar el conjunto de prueba, se evidenció un rendimiento inferior en comparación con las fases de entrenamiento y validación. Los resultados sugieren una limitación en la capacidad de generalización de los modelos a datos no vistos.

Este análisis resalta la importancia de evitar el sobreajuste y mejorar la capacidad de generalización de los modelos de redes neuronales para obtener predicciones precisas y consistentes en entornos del mundo real. Se subraya la relevancia de modelos eficientes y con buena capacidad de generalización, como el modelo F, para la construcción de aplicaciones de aprendizaje automático confiables.

VII. BIBLIOGRAFÍA

<https://aws.amazon.com/es/what-is/neural-network/>

<https://www.diegocalvo.es/funcion-de-activacion-redes-neuronales/#:~:text=ReLU%20%20Rectified%20Lineal%20Unit,positivos%20tal%20y%20como%20entran.&text=Caractersticas%20de%20la%20funcin%20ReLU,No%20est%20acotada.>

<https://www.codificandobits.com/blog/matriz-de-confusion/>

<https://pytorch.org/docs/stable/nn.html#linear-layers>